

تعیین ضرایب هم‌سنگ سواری برای موتورسیکلت، اتوبوس و مینی‌بوس در تقاطع‌های چراغ‌دار شهری ایران، مطالعه موردی در شهرهای اصفهان و یزد*

مریم دهقانی‌زاده^(۱)مهدی فلاح تفتی^(۲)

چکیده در حال حاضر در مطالعات و طراحی‌های مربوط به تقاطعات چراغ‌دار ایران، از مقادیر ضریب هم‌سنگ سواری پیشنهادی توسط سایر آیین‌نامه‌های معتبر دنیا استفاده می‌شود که به نظر می‌رسد با توجه به خصوصیات متفاوت هندسی، رفتاری و خودروها در کشورمان با کشورهای دیگر، تأثیر منفی بر درستی تحلیل‌های ظرفیتی آنها داشته باشد؛ لذا در این مطالعه سعی شد تا برای نخستین بار با استفاده از روش آنالیز رگرسیون چندمتغیره، مقادیر ضرایب هم‌سنگ سواری برای اتوبوس، مینی‌بوس و موتورسیکلت‌های عبوری در تقاطعات چراغ‌دار شهری محاسبه شود. این مطالعه در محدوده ۹ تقاطع چراغ‌دار شهرهای اصفهان و یزد انجام شد و روابط پیشنهادی در نرم‌افزار SPSS برآزش شدند؛ سپس از ضرایب پرداخت شده برای مدل استفاده شد و مقادیر ۰/۴۶، ۱/۴۵ و ۲/۵۳ به ترتیب برای ضرایب معادل سواری موتورسیکلت، مینی‌بوس و اتوبوس به دست آمد؛ هم‌چنین ضریب هم‌سنگ سواری کلی برای وسایل نقلیه سنگین برابر ۲/۱۳ به دست آمد. از این نتایج می‌توان به‌عنوان بهترین تخمین موجود برای تعیین ضریب هم‌سنگ در دیگر تقاطع‌های چراغ‌دار مشابه در کشور استفاده کرد.

واژه‌های کلیدی ضریب هم‌سنگ سواری، تقاطع‌های چراغ‌دار، آنالیز رگرسیون چندمتغیره، ظرفیت تقاطع.

Determination of Equivalent Passenger Car Unit for Motorcycles, Buses and Minibuses at Urban Signalized Intersections in Iran, Case Study: Isfahan and Yazd City

M. Dehghanizadeh

M. Fallah Tafti

Abstract At present, the Equivalent Passenger Car Unit (PCU) values, proposed by other international guides, are used in the design and analysis of signalized intersections in Iran. It is likely that this would produce a negative impact of the accuracy of capacity analysis used for these intersections as the geometric design, behavioral attributes and vehicle characteristics are different here. Hence, it was decided to estimate the PCU values for buses, minibuses and motorcycles at Iranian signalized intersections using a multiple linear regression in this study. The required field data was collected from 9 intersections located at Isfahan and Yazd cities and the regression analysis was then performed on the data using SPSS software. Thereby, the PCU values for the motorcycles, minibuses and buses were obtained as 0.46, 1.45 and 2.53. Finally, an overall average PCU value of 2.13 was obtained for the heavy vehicles. The results could be used as the best estimate of PCU values for the similar Iranian signalized intersections.

Key Word Passenger Car Unit, Signalized Intersections, Multiple Linear Regression, Intersection Capacity.

* تاریخ دریافت مقاله ۱۳۹۹/۳/۱۰ و تاریخ پذیرش آن ۱۴۰۰/۷/۶ از صفحه ۱ تا ۲۲ می‌باشد.

(۱) دانشجوی دکتری راه و ترابری، دانشکده مهندسی عمران، دانشگاه یزد.

(۲) نویسنده مسئول، دانشیار، دانشکده مهندسی عمران، دانشگاه یزد.

مقدمه

هم‌سنگ سواری هر وسیله نقلیه عبارت است از تعداد خودروی سواری معادل که در جریان ترافیک جایگزین آن وسیله نقلیه می‌شود بدون آن‌که تغییری در شرایط جاده و یا جریان ترافیک به وجود آید. تفاوت در ویژگی‌ها و عملکرد وسایل نقلیه سنگین و موتورسیکلت‌ها با وسایل نقلیه سواری باعث ایجاد تغییرات زیادی در خصوصیات جریان ترافیک می‌شود. یکی از عمده‌ترین روش‌ها برای ایجاد وحدت رویه در تحلیل جریان‌های ترافیکی، تبدیل تمامی انواع وسایل نقلیه موجود در یک بخش از شبکه جاده‌ای به یک نوع وسیله نقلیه معادل می‌باشد. این مفهوم برای اولین بار در آیین‌نامه ظرفیت راه‌های آمریکا در سال ۱۹۶۵ برای برآورد میزان تأثیر وسایل نقلیه سنگین از قبیل اتوبوس و کامیون در جریان ترافیک معرفی شد [1]. به دنبال آن، روش‌های متنوع دیگری نیز پیشنهاد شده‌اند که در بخش پیشینه پژوهش به آنها اشاره شده است.

علی‌رغم شرایط ترافیکی ناهمگن و بی‌نظم حاکم بر تقاطع‌ها در کشور ایران، در مطالعات ترافیکی این تقاطع‌ها عمدتاً از ضرایب هم‌سنگ سواری پیشنهاد شده در آیین‌نامه‌های کشورهای دیگر استفاده می‌شود. چرا که تاکنون این ضرایب برای شرایط ترافیکی کشور ایران در یک مطالعه نسبتاً گسترده اندازه‌گیری نشده‌اند. در این مقاله، نتایج یک پژوهش انجام‌شده برای اندازه‌گیری ضرایب هم‌سنگ سواری در تعدادی از تقاطع‌های چراغ‌دار واقع در دو شهر اصفهان و یزد، به عنوان نمادی از دو شهر به ترتیب کلان‌شهر و متوسط ایران، ارائه شده است. با توجه به کارایی بالای روش آنالیز رگرسیون به عنوان یک روش مناسب برای تعیین ضرایب هم‌سنگ سواری در تقاطعات چراغ‌دار با شرایط هندسی و ترافیکی نامنظم، در این پژوهش از این روش استفاده شده است. هدف اصلی این پژوهش تخمین ضرایب هم‌سنگ سواری مناسب به منظور استفاده در طراحی تحلیل ظرفیت از طریق محاسبه نرخ تردد اشباع و تعیین سطح سرویس در تقاطعات چراغ‌دار بود. فلاح و دهقانی‌زاده [2] در مطالعه‌ای، برای مقایسه و مدل‌سازی نرخ جریان

اشباع تقاطعات چراغ‌دار از ضرایب هم‌سنگ سواری به روش رگرسیون نیز استفاده کردند.

پیشینه تحقیق

از گذشته تاکنون مطالعات متعددی در زمینه محاسبه ضرایب هم‌سنگ سواری انجام شده است؛ از جمله مطالعات صورت‌گرفته در این خصوص، روش محاسبه ضریب هم‌سنگ سواری بر مبنای سرفاصله زمانی، نسبت حجم به ظرفیت مشابه، سرعت وسایل نقلیه عبوری، تأخیر وارد بر وسایل نقلیه، بهینه‌سازی، نمودارهای چگالی-نرخ جریان ترافیک و آنالیز رگرسیون می‌باشد که در ادامه به نمونه‌هایی از مطالعات مرتبط با هر کدام از این روش‌ها اشاره شده است.

روش‌های مبتنی بر سرفاصله زمانی

در روش مبتنی بر سرفاصله زمانی، متوسط سرفاصله زمانی حرکت وسایل نقلیه در هنگام عبور از تقاطع تعیین می‌گردد [3]. برای این منظور معمولاً سرفاصله‌های زمانی، نسبت به خط توقف ورودی تقاطع اندازه‌گیری می‌شوند و زمان عبور محور عقب وسیله نقلیه از خط توقف ثبت می‌گردد. نخستین سرفاصله زمانی، زمان بین شروع فاز سبز و عبور محور عقبی اولین وسیله از خط توقف است. سرفاصله‌های بعدی حداقل زمان عبور محور عقب دو وسیله نقلیه متوالی از خط توقف خواهد بود [4, 5]. لازم به ذکر است که این روش در قاره اروپا بسیار معمول است [6].

کرامس و کرولی [1] با مقایسه چندین روش موجود، مدلی برای محاسبه ضریب هم‌سنگ سواری بر اساس سرفاصله عقبی کامیون‌های پشت سر سایر وسایل نقلیه سواری در جریان مختلط و سرفاصله عقبی کامیون‌های پشت سر کامیون‌های دیگر ارائه دادند. این پژوهش در یک مسیر با سطح عملکردی آزادراه بررسی شد. آنها نتیجه گرفتند که با افزایش نسبت کامیون‌ها، مقادیر ضریب هم‌سنگ سواری افزایش خواهد یافت. ورنر و مورال مدلی بر اساس سرفاصله زمانی متوسط در مسیر جریان ترافیکی ارائه دادند. آنها بر پایه این بررسی

اشغال می‌کردند، ارائه دادند. تغییرات نسبت سرعت تابعی از شرایط مسیر و ترافیک عبوری بود و نسبت فضای اشغال‌شده، مانور هر وسیله را باتوجه به وسیله نقلیه سواری نشان می‌داد [10]. هو و جانسون [11] با استفاده از راهنمای ظرفیت راه‌های آمریکا در سال ۱۹۶۵، یک مدل براساس سرعت ارائه دادند. در این روش از مقادیر ضریب هم‌سنگ سواری برای تبدیل یک جریان مختلط به یک جریان تنها شامل خودروی سواری با سرعت عملکردی یکسان استفاده شد. در این روش، قطعات طولانی آزادراهی مورد بررسی قرار گرفتند. سنت جانو گلو [12] با بررسی عملکرد کامیون‌ها یک فاکتور غیرخطی برای این وسایل نقلیه ارائه دادند و براساس این فاکتور، بین سرعت و جریان ترافیکی ارتباط برقرار کردند.

روش مبتنی بر سرعت وسایل نقلیه عبوری، برای جاده‌هایی که سطح سرویس و تحلیل ظرفیت آنها براساس سرعت محاسبه می‌گردد، مناسب می‌باشد. به‌طور کلی این روش، نیازمند داده‌های کافی از تغییرات سرعت و زمان سفر برای نرخ‌های جریان متفاوت و ترکیب ترافیک مختلف می‌باشد.

روش‌های مبتنی بر تأخیر نسبی

خاکی و ناصری‌فرد [۱۳] طی پژوهشی، ضریب هم‌سنگ سواری برای موتورسیکلت را در تقاطع‌های چراغ‌دار ارائه دادند. تحلیل آنها براساس روش تأخیر و روش آماری تجزیه واریانس بود. آنها نتیجه گرفتند در سطح اطمینان ۹۵٪، ضریب هم‌سنگ سواری مربوط به موتورسیکلت‌ها در بازه ۰/۴۲ تا ۰/۹ متغیر بوده و نسبت به تغییرات حجم ترافیک و درصد موتورسیکلت در ترکیب ترافیک، وابستگی بسیار کمی دارد. نصیری و طباطبایی براساس نسبت تأخیر ایجادشده ناشی از وسایل نقلیه سنگین به تأخیر ایجادشده ناشی از خودروهای سواری، مقدار ضریب هم‌سنگ سواری را در تقاطع‌های چراغ‌دار ایران پیشنهاد دادند. آنها نتیجه گرفتند که این مقدار عدد ثابتی نیست و تابع حجم ترافیک در رویکردهای ورودی

نتیجه گرفتند که این روش برای محاسبه ضریب هم‌سنگ سواری در سطوح سرویس پایین مناسب‌تر خواهد بود [7].

به‌طور کلی هنگامی که رانندگان به‌طور پایدار، منظم و همگن حرکت کنند، مفهوم سرفاصله معنا دارد و این روش قابل استفاده خواهد بود. این روش نیازمند حجم داده میدانی نسبتاً محدودی است و از طرفی در شرایط با حجم ترافیکی خیلی کم به علت فاصله زیاد بین وسایل نقلیه عبوری، عملاً این روش مفهومی ندارد. هم‌چنین با نزدیک شدن ترافیک به مقدار ظرفیت و با فرض خطی بودن رابطه سرعت و حجم ترافیک، نتایج حاصل از این روش دقیق نمی‌باشد [۹ و ۸].

روش‌های مبتنی بر نسبت حجم به ظرفیت مشابه

دستورالعمل انجمن تحقیقات حمل و نقلی (TRB) آمریکا ضرایب هم‌سنگ سواری را براساس نسبت حجم به ظرفیت ثابت ارائه داده‌است. در این روش، مقادیر هم‌سنگ سواری به شکلی محاسبه شده‌است که با اعمال آن بر جریان مختلط، جریان ترافیکی معادل سواری حاصل، نسبت حجم به ظرفیت مشابهی با حالت مختلط داشته باشد. نتایج حاصل از کاربرد این روش نشان داد که با تغییر این نسبت و سرعت طرح آزادراه‌ها ضریب هم‌سنگ سواری تغییر عمده‌ای ندارد [1]. در گذشته که سطح سرویس راه‌ها به‌صورت ضریبی از حجم به ظرفیت محاسبه می‌شد، این روش قابل استفاده بود.

روش‌های مبتنی بر سرعت وسایل نقلیه عبوری

سرعت وسایل نقلیه، یکی از پارامترهای اساسی برای تخمین سطح سرویس جاده‌ها می‌باشد. به‌طوری‌که دو مسیر با شرایط فیزیکی و دانسیته یکسان، که یکی متشکل از جریان ترافیکی خودروهای سواری و دیگری مختلط می‌باشد، سرعت حرکت متفاوتی را خواهند داشت. چندرا و کومار برای محاسبه ضرایب هم‌سنگ سواری کشور هند، یک مدل ارائه دادند. آنها مقادیر هم‌سنگ سواری دینامیکی را برای وسایل نقلیه مختلف براساس نسبت سرعت و نیز نسبت فضایی که این وسایل نقلیه

روش‌های مبتنی بر نمودارهای چگالی - نرخ جریان

اویسی و همکاران [۱۷] با استفاده از نمودارهای چگالی - نرخ جریان، ضریب هم‌سنگ سواری برای وسایل نقلیه سنگین در آزادراه‌های ایران را ارائه دادند. آنها برای شناسایی بهترین مدل از مدل‌سازی ریاضی استفاده کردند و در مقطع پایه آزادراهی و در شیب طولی کمتر از ۲ درصد، برای ۳ الی ۱۰ درصد وسایل نقلیه سنگین و بیش از ۱۰ درصد به ترتیب ضرایب هم‌سنگ سواری ۲ و ۱/۷ را ارائه دادند.

روش‌های مبتنی بر تحلیل رگرسیون

منح و سانو [18]، ۴ تقاطع چراغ‌دار شهر هانوی در ویتنام و ۳ تقاطع چراغ‌دار شهر بانکوک در تایلند را برای محاسبه مقادیر ضریب هم‌سنگ سواری، مورد مطالعه و بررسی قرار دادند. در این تقاطعات، حجم موتورسیکلت‌های عبوری بسیار زیاد و عبور وسایل نقلیه سنگین ممنوع شده بود. آنها با روش آنالیز رگرسیون چندگانه، مقادیر ضریب هم‌سنگ سواری اتوبوس و موتورسیکلت را برای شهر هانوی به ترتیب برابر با ۲/۲۶ و ۰/۲۴ و برای شهر بانکوک به ترتیب برابر با ۲/۱۸ و ۰/۱۸ پیشنهاد دادند.

این روش همان‌طور که اشاره شد روش بسیار مناسبی برای برآورد ضریب هم‌سنگ سواری برای تقاطعات شهری علی‌الخصوص برای حالت ناهمگن می‌باشد. این در حالی است که تقریباً اکثر روش‌های فوق‌الذکر برای شرایط ترافیکی همگن مناسب می‌باشند.

مطالعات انجام‌شده در سال‌های اخیر

کومار و همکاران [19] تحت پژوهشی، ضریب هم‌سنگ سواری را در جاده‌های چندخطه شهری با شرایط ترافیکی ناهمگن بررسی کردند و در این خصوص یک روش جدید برای محاسبه ضریب هم‌سنگ سواری ارائه دادند. در این پژوهش، از پارامتر فضای اشغال‌شده وسایل نقلیه به عنوان معیار عملکردی استفاده شد. برای بررسی صحت روش پیشنهادی، نتایج حاصل با مقادیر ضریب

تقاطع‌ها می‌باشد [۱۴]. کاناگین و مسر [15] نیز یک مدل برای تخمین مقادیر هم‌سنگ سواری برای راه‌های چند بانده پیشنهاد دادند. این مدل براساس تأخیرات وارد بر وسایل نقلیه سبقت‌گیرنده توسط جریان خودروی سنگین موجود در جریان ترافیکی بود. در این روش، تأثیر شرایط عوارض منطقه عبور راه مانند واقع بودن در دشت، تپه ماهور و یا کوهستان نیز در محاسبه ضرایب موردنظر لحاظ شده‌است.

روش‌های مبتنی بر تأخیر نسبی، با در نظر گرفتن تأخیر وارد بر وسایل نقلیه در تقاطعات شهری و یا تأخیر ناشی از مانورهای سبقت در راه‌های بین شهری، به‌عنوان معیاری از سطح سرویس، ضرایب هم‌سنگ نسبتاً دقیقی را ارائه می‌دهند. به‌طور کلی در شرایطی که حجم ترافیک نزدیک به ظرفیت باشد، وسایل نقلیه کندتر مانند کامیون -ها مانع حرکت سایر وسایل نقلیه و منجر به تشکیل صفی از وسایل نقلیه می‌شوند. به‌نظر می‌رسد، روش مبتنی بر تأخیر نسبی برای این شرایط ترافیکی مناسب است و در شرایط ترافیکی غیراشباع، نتایج دقیقی را ارائه نخواهد داد. لازم به ذکر است که در این روش، از مفهوم نسبت تأخیرها استفاده شده که تعریف واحدی ندارد [۹ و ۸].

روش‌های مبتنی بر تکنیک‌های شبیه‌سازی و

بهینه‌سازی

روش‌های مبتنی بر تکنیک بهینه‌سازی نیز برای محاسبه ضریب هم‌سنگ سواری ارائه شده‌است. در این روش ضرایب هم‌سنگ سواری به‌گونه‌ای تخمین زده می‌شوند که اختلاف بین نرخ جریان اشباع پایه و جریان مشاهده‌شده در طول زمان اشباع کمینه شود. در این روش که اولین بار توسط ستی و دمارچی ارائه شد، برای ساخت یک مدل مشابه، نیاز به یک مدل‌سازی جریان ترافیک می‌باشد که معمولاً با برداشت میدانی قابل توجه، زمان و هزینه زیادی همراه است. از مزایای عمده این روش می‌توان به وجود بیش از یک وسیله نقلیه در جریان ترافیک و بررسی اثر متقابل وسایل نقلیه بر یکدیگر اشاره کرد [16].

جریان اشباع میدانی و ایده‌آل، تکنیک رگرسیون، روش نرخ تخلیه‌ی صف ترافیک و بهینه‌سازی با استفاده از نرم‌الیزه کردن جریان عبوری استفاده شد. نتایج حاصل نشان دادند که چهارمین روش نام‌برده، بهترین روش برای تخمین ضریب هم‌سنگ سواری می‌باشد. این نتیجه از مقایسه‌ی مقادیر جریان اشباع حاصل از روش‌های مذکور با جریان اشباع حاصل از دستورالعمل ظرفیت راه‌های آمریکا به-دست آمد.

گران و همکاران [23] در پژوهشی، ضریب هم‌سنگ سواری را برای میداین دوخطه و توربو در محیط شبیه‌ساز ایمنان به‌طور دقیق تخمین زدند. هدف از این پژوهش، به حداقل رساندن میانگین مربعات اختلاف بین ظرفیت خطوط ورودی به میدان در شبیه‌سازی و مقادیر تجربی بود.

سوگیارتو و همکاران [24] با استفاده از رگرسیون خطی بی‌زین، ضریب هم‌سنگ سواری را برای تقاطعات چراغ‌دار با فازبندی از پیش تعیین شده تخمین زدند. این تقاطعات شامل درصد موتورسیکلت بالایی بود. نتایج حاصل با مقادیر ضریب هم‌سنگ دستورالعمل ظرفیت راه‌های هند انحراف زیادی داشت که علت آن ترافیک مختلط حاکم بر تقاطع بود. رابطه‌ی پیشنهادی در این پژوهش برای نرخ جریان اشباع پایه در مقایسه با رابطه‌ی دستورالعمل ظرفیت راه‌های هند، تطبیق بیشتری با شرایط ترافیکی مختلط و ناهمگن داشت.

مقایسه‌ی روش‌های برشمرده شده در این بخش نشان می‌دهد که در روش‌های پیشنهادی تاکنون عموماً سعی شده‌است که با مبنا قرار دادن یک یا دو شاخص ترافیکی، تأثیر معادل وسایل نقلیه‌ی سنگین و موتورسیکلت در مقایسه با خودروهای سواری برآورد و نسبت این تأثیر به‌عنوان ضریب هم‌سنگ سواری به‌دست آید. در این میان، روش مبتنی بر تحلیل رگرسیون باتوجه به این‌که تأثیر کلی عوامل ترافیکی، هندسی، محیطی و رفتار رانندگان را توأماً در نظر می‌گیرد و تجربه‌ی استفاده از آن در کشورهایی با شرایط ترافیکی ناهمگن و بی‌نظم موفقیت‌آمیز بوده‌است، به‌عنوان روش تحلیلی مورد استفاده در این تحقیق انتخاب گردید.

هم‌سنگ سواری بهینه، ضرایب دینامیکی (نسبت سرعت به مساحت اشغال‌شده) و مقادیر ذکرشده در دستورالعمل‌های معتبر موجود مقایسه شد. این پژوهش نشان داد که پارامترهای میکرو، مانند فضای اشغال، هم می‌تواند به‌عنوان یک معیار عملکردی برای محاسبه‌ی ضریب هم‌سنگ سواری محسوب گردند.

پاجکی و همکاران [20] با استفاده از نرم‌افزار شبیه-ساز ویزیم، ضریب هم‌سنگ سواری را برای چهار نوع وسیله‌ی نقلیه‌ی سنگین در ورودی میداین شهری محاسبه کردند. در این پژوهش، چندین سناریو با تقاضای ترافیک متفاوت تعریف شد، مقادیر ضریب هم‌سنگ سواری استفاده از مدل رگرسیونی محاسبه شد و سپس یک رابطه‌ی دینامیکی پیشنهاد شد. این رابطه شباهت‌های زیادی با رابطه‌ی ارائه‌شده در دستورالعمل ظرفیت راه‌های آمریکا دارد اما با تغییر اندکی در آن، اثر انواع وسایل نقلیه‌ی سنگین لحاظ شده‌است.

پال و همکاران [21] در پژوهشی، تأثیر روش‌های مختلف تخمین ضریب هم‌سنگ سواری بر ظرفیت جاده-های دوخطه‌ی جداشده بین شهری را بررسی کردند. در این پژوهش، ضرایب هم‌سنگ سواری از سه روش تخمین زده شد. در روش اول، از ضرایب آماده‌ی کنگره‌راه‌های هند استفاده شد. در روش دوم، این ضرایب به‌روش دینامیکی، نسبت سرعت به فضای اشغال‌شده توسط وسایل نقلیه، محاسبه شد. در سومین روش، این ضرایب با استفاده از دستورالعمل ظرفیت راه‌های هند تخمین زده شد. در این روش ضریب هم‌سنگ سواری انتخابی برای هر وسیله‌ی نقلیه وابسته به نسبت حجم ترافیک همان وسیله‌ی نقلیه به کل جریان مسیر می‌باشد. نتایج حاصل نشان داد که تخمین ظرفیت با استفاده از ضرایب هم‌سنگ سواری در روش دوم و سوم، بسیار به شرایط واقعی نزدیک است.

موندال و همکاران [22] در پژوهشی، نرخ جریان اشباع محاسبه‌شده با استفاده از مقادیر مختلف ضریب هم‌سنگ سواری را در شش تقاطع چراغ‌دار با شرایط ترافیکی ناهمگن مقایسه کردند. برای تخمین ضریب هم‌سنگ سواری از تکنیک بهینه‌سازی اختلاف بین نرخ

$$p_i = \frac{a_i}{a_1} \quad (2)$$

جدول ۱ ضرایب معادل سواری پیشنهادی کنگره جاده هند [25]

نوع وسیله نقلیه	ضریب معادل سواری
موتورسیکلت	۰/۵
سه‌چرخه	۰/۷
اتوبوس	۲

که در روابط فوق، n_i تعداد و سایل نقلیه عبوری از گروه i ام در هر سیکل، a_1, a_2, a_3 ها به ترتیب ضرایب حاصل از تحلیل رگرسیون برای وسیله نقلیه سواری، موتورسیکلت و وسیله نقلیه سنگین، t زمان سبز اشباع کل در هر سیکل چراغ (ثانیه) و p_i ضرایب هم‌سنگ سواری برای گروه i ام و سایل نقلیه می‌باشند.

برداشت اطلاعات

در این پژوهش، در مرحله نخست تعداد نمونه لازم که همان تعداد سیکل‌های مورد نیاز بود، با استفاده از رابطه کوکران برای جامعه نامحدود محاسبه شد. این رابطه برای درصد خطای ۵٪، تعداد ۳۸۴ نمونه را پیشنهاد می‌دهد. در این روش توصیه شده که تعداد نمونه، ۱۰٪ بیش از مقادیر حاصل از رابطه کوکران برداشت شود. سپس اطلاعات ترافیکی و زمان بندی چراغ‌های راهنمایی مربوط به ۸ رویکرد ورودی از تقاطع‌های چراغ‌دار شهر یزد و ۵ رویکرد ورودی از تقاطع‌های چراغ‌دار شهر اصفهان به صورت فیلم برداری برداشت شد. این داده‌ها، در زمان اوج ترافیک اشباع (۷:۳۰ الی ۸:۳۰ و ۱۹:۳۰ الی ۲۰:۳۰) در دو هفته آخر اسفندماه برداشت شد. سپس ۴۲۵ سیکل اشباع انتخاب و نرخ ورود و سایل نقلیه به تقاطع به تفکیک سواری، سنگین (شامل اتوبوس و مینی‌بوس) و موتورسیکلت در بازه‌های زمانی سبز اشباع برداشت شدند و سایل نقلیه‌ای که قبل از شروع فاز سبز اقدام به حرکت کرده بودند حذف گردیدند.

روش پژوهش

ترافیک عبوری از تقاطع‌های چراغ‌دار شهری معمولاً علاوه بر خودروهای سواری شامل موتورسیکلت و سایل نقلیه سنگین مانند کامیون و اتوبوس می‌باشد. در این پژوهش، با انتخاب تعدادی از تقاطعات چراغ‌دار شلوغ شهرهای اصفهان و یزد و با استفاده از روش آنالیز رگرسیون چندمتغیره که توسط منح و سانوارائه شده است، ضرایب هم‌سنگ سواری اتوبوس، مینی‌بوس و موتورسیکلت برای شرایط ترافیکی اشباع محاسبه شدند. در تقاطعات چراغ‌دار شهری، محاسبه فازبندی چراغ راهنمایی نیازمند تخمین پارامتر نرخ جریان اشباع می‌باشد. برای محاسبه نرخ جریان اشباع نیز ضریب هم‌سنگ سواری مورد نیاز است؛ به همین دلیل در این پژوهش، از زمان سبز اشباع برای تحلیل رگرسیون استفاده شده است.

برای این منظور، ابتدا کل زمان فاز سبز در هر سیکل به بازه‌های ۵ ثانیه‌ای تقسیم شد و تعداد و سایل نقلیه سواری، موتورسیکلت، اتوبوس و مینی‌بوس به تفکیک در این بازه‌ها شمارش شدند. سپس بازه‌های زمانی ۵ ثانیه‌ای که در هر یک بیش از ۳ وسیله نقلیه معادل سواری از خط ایست آن رویکرد عبور کرده بودند، به عنوان بازه‌های زمانی با جریان ترافیک اشباع در نظر گرفته شدند. در این مرحله، با توجه به مشخص نبودن ضرایب معادل سواری، از مقادیر پیشنهادی برای کشور هند که در جدول (۱) ارائه شده است، استفاده شد [25]. سپس برای هر رویکرد ورودی تحت بررسی تقاطع، مجموع بازه‌های زمانی اشباع در هر سیکل، و تعداد انواع و سایل نقلیه عبوری از رویکرد در طی این مدت به تفکیک محاسبه شدند. اطلاعات حاصل برای تعدادی سیکل چراغ در رویکرد مورد نظر در یک آنالیز رگرسیون چند متغیره خطی با معادله کلی نشان داده شده در رابطه (۱) استفاده شد. سپس با استفاده از ضرایب پرداخت شده برای مدل، ضرایب معادل سواری برای سایل نقلیه سنگین و موتورسیکلت از رابطه (۲) محاسبه شدند.

$$t = n_1 a_1 + n_2 a_2 + n_3 a_3 \quad (1)$$

هندسی، ترافیکی و زمان‌بندی رویکردهای مورد بررسی در جدول (۲)، شکل‌های (۱) الی شکل (۴) ارائه شده‌است.

شایان ذکر است که باتوجه به تعداد ناچیز کامیون‌های مشاهده شده در مقایسه با سایر خودروهای سنگین، این نوع خودروها در موارد نادر مشاهده شده به‌عنوان اتوبوس شمارش شدند. برخی از مشخصات

جدول ۲ مشخصات رویکردهای ورودی تقاطعات مورد بررسی

شهر	کد	نام رویکرد	عرض مؤثر کل (متر)	عرض مؤثر هر خط (متر)	تعداد خطوط عبوری	زمان سبز (ثانیه)	مدت زمان سبک (ثانیه)	حمایت شده/نشده
یزد	DN	تقاطع دولت‌آباد- از سمت بلوار نواب	۱۰/۵	۳/۵	۳	۲۱	۹۸	حمایت شده
	DE	تقاطع دولت‌آباد- از سمت خیابان انقلاب	۶/۳	۳/۱۵	۲	۲۰	۹۸	حمایت شده
	IP	تقاطع ایرانشهر- از سمت بلوار پاک‌نژاد	۹/۲	۳/۰۶	۳	۲۸	۶۳	حمایت نشده
	IE	تقاطع ایرانشهر- از سمت بلوار امام‌زاده جعفر	۱۰	۳/۳	۳	۲۸	۶۳	حمایت نشده
	MD	تقاطع مهدی- از سمت بلوار دهه فجر	۸/۶	۲/۹	۳	۳۱-۲۹	۷۱-۵۹	حمایت نشده
	FP	تقاطع فرهنگیان- از سمت بلوار پاک‌نژاد	۹/۷	۳/۲	۳	۱۹	۵۱	حمایت نشده
	PA	تقاطع پژوهش- از سمت میدان عالم	۱۲	۳	۴	۱۵-۲۶	۱۴۲-۹۵	حمایت شده
	PF	تقاطع پژوهش- از سمت فلکه اطلسی	۱۱	۲/۸	۴	۱۱-۳۲	۱۴۲-۹۵	حمایت شده
اصفهان	DD	تقاطع دانشگاه- از سمت خیابان دانشگاه	۱۰/۵	۲/۶	۴	متغیر	۱۲۰	حمایت شده
	TT	تقاطع توحید- از سمت خیابان توحید	۹	۳	۳	متغیر	۱۱۰	حمایت نشده
	AJ	تقاطع غیرهم‌سطح شهید آقابابایی- از سمت خیابان جی	۱۰	۲/۵	۴	متغیر	۸۰	حمایت شده
	AKH	تقاطع غیرهم‌سطح شهید آقابابایی- از سمت خیابان خواجه عمید	۷/۸	۲/۶	۳	متغیر	۸۰	حمایت شده
	MK	تقاطع ملک‌شهر- از سمت بلوار کاوه	۱۲	۳	۴	متغیر	۱۲۰	حمایت شده



تقاطع امیرالمؤمنین - از سمت صدا و سیما



تقاطع ایرانشهر - از سمت بلوار پاک‌نژاد و بلوار امام‌زاده جعفر



تقاطع پژوهش - از سمت میدان عالم و فلکه اطلسی



تقاطع دولت‌آباد - از سمت بلوار نواب و خیابان انقلاب



تقاطع مهدی - از سمت بلوار دهه فجر



تقاطع فرهنگیان - از سمت بلوار پاک‌نژاد

شکل ۱ تصویر گوگل ارث از طرح هندسی تقاطعات بررسی‌شده شهر یزد



تقاطع توحید- از سمت خیابان توحید



تقاطع دانشگاه- از سمت خیابان دانشگاه

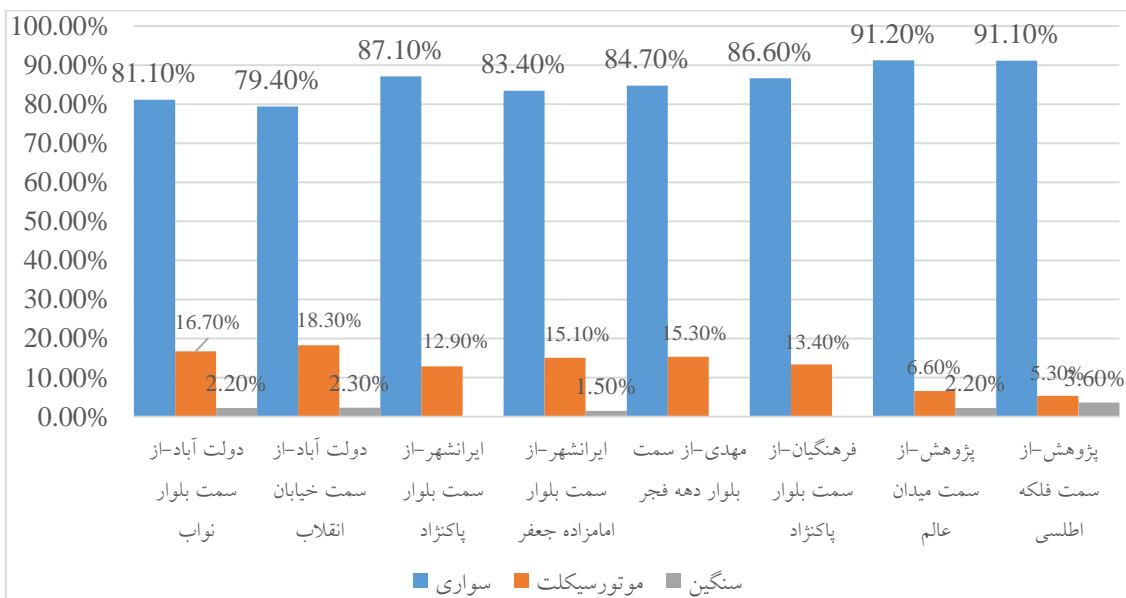


تقاطع غیرهم سطح شهید آقابابایی- از سمت خیابان جی و خواجه عمید

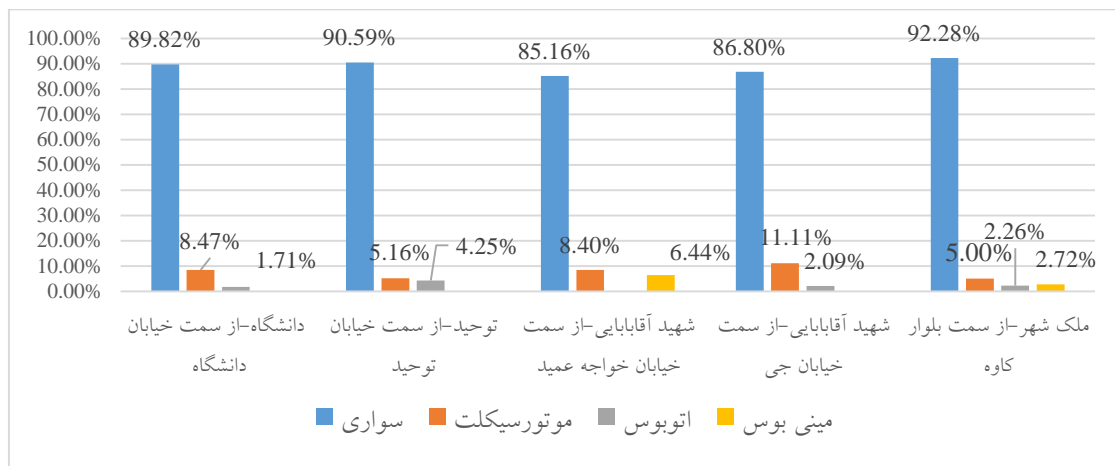


تقاطع ملک شهر- از سمت بلوار کاوه

شکل ۲ تصویر گوگل ارث از طرح هندسی تقاطعات بررسی شده شهر اصفهان



شکل ۳ ترکیب ترافیک تقاطعات بررسی شده شهر یزد



شکل ۴ ترکیب ترافیک تقاطعات بررسی شده شهر اصفهان

جدول ۳ مقادیر میانگین، تعداد سیکل و انحراف معیار داده‌های برداشت شده در تقاطعات شهر یزد

رویکرد	نوع وسیله نقلیه	وسيلة نقلیه سواری	موتورسیکلت	وسيلة نقلیه سنگین	زمان سبز اشباع
پژوهش-عالم	میانگین (تعداد یا ثانیه در هر سیکل)	29.13	2	0.69	18.84
	تعداد سیکل برداشت	32	32	32	32
	انحراف معیار	8.404	1.344	0.693	4.487
پژوهش-اطلسی	میانگین (تعداد یا ثانیه در هر سیکل)	35.41	2.00	1.44	24.44
	تعداد سیکل برداشت	32.00	32.00	32.00	32.00
	انحراف معیار	8.87	1.63	1.16	6.13
فرهنگیان-پاک‌نژاد	میانگین (تعداد یا ثانیه در هر سیکل)	13.07	2.04	-	15.17
	تعداد سیکل برداشت	46.00	46.00	-	46.00
	انحراف معیار	2.93	1.49	-	2.70
دهه فجر-مهدی	میانگین (تعداد یا ثانیه در هر سیکل)	21.74	4.44	-	28.53
	تعداد سیکل برداشت	34.00	34.00	-	34.00
	انحراف معیار	3.74	2.85	-	4.28
ایران شهر-امامزاده	میانگین (تعداد یا ثانیه در هر سیکل)	19.58	3.58	0.33	28.70
	تعداد سیکل برداشت	33.00	33.00	33.00	33.00
	انحراف معیار	3.33	1.60	0.60	3.40
ایران شهر-پاک‌نژاد	میانگین (تعداد یا ثانیه در هر سیکل)	22.70	3.39	-	25.30
	تعداد سیکل برداشت	33.00	33.00	-	33.00
	انحراف معیار	4.14	1.41	-	3.48
دولت‌آباد-انقلاب	میانگین (تعداد یا ثانیه در هر سیکل)	12.15	2.91	0.33	15.06
	تعداد سیکل برداشت	33.00	33.00	33.00	33.00
	انحراف معیار	2.85	2.02	0.54	2.75
دولت‌آباد-نواب	میانگین (تعداد یا ثانیه در هر سیکل)	26.03	5.51	0.69	21.69
	تعداد سیکل برداشت	35.00	35.00	35.00	35.00
	انحراف معیار	3.34	2.03	0.63	1.66

جدول ۴ مقادیر میانگین، تعداد سیکل و انحراف معیار داده‌های برداشت شده در تقاطعات شهر اصفهان

رویکرد	نوع وسیله نقلیه	وسیله نقلیه سواری	موتورسیکلت	اتوبوس	مینی بوس	زمان سبز اشباع
ملک شهر- کاوه	میانگین (تعداد یا ثانیه در هر سیکل)	90.80	4.63	2.60	2.07	59.5
	تعداد سیکل برداشت	30.00	30.00	30.00	30.00	30
	انحراف معیار	9.33	1.59	1.10	1.20	5.04975
آقابابایی- جی	میانگین (تعداد یا ثانیه در هر سیکل)	50.03	6.42	1.03	-	33.39
	تعداد سیکل برداشت	31.00	31.00	31.00	-	31.00
	انحراف معیار	4.67	2.13	0.66	-	2.92
آقابابایی- خواجه عمید	میانگین (تعداد یا ثانیه در هر سیکل)	23.93	1.87	-	1.20	26.43
	تعداد سیکل برداشت	30.00	30.00	-	30.00	30.00
	انحراف معیار	5.02	1.11	-	0.92	3.02
توحید- توحید	میانگین (تعداد یا ثانیه در هر سیکل)	45.52	1.36	1.84	-	37.56
	تعداد سیکل برداشت	25.00	25.00	25.00	-	25.00
	انحراف معیار	22.47	1.66	1.34	-	18.19
دانشگاه- دانشگاه	میانگین (تعداد یا ثانیه در هر سیکل)	45.94	4.55	0.81	-	56.94
	تعداد سیکل برداشت	31.00	31.00	31.00	-	31.00
	انحراف معیار	13.77	3.60	0.83	-	16.72

جدول ۵ نتایج آنالیز مدل رگرسیونی رویکرد ورودی DN

Sig.	T	Beta	Std. Error	B	(R ² =۰/۷۳۴)
0/000	4/372		1/682	7/354	مقدار ثابت
0/000	9/112	0/979	0/053	0/486	سواری
0/046	2/082	0/210	0/082	0/171	موتورسیکلت
0/000	4/048	0/404	0/262	1/062	سنگین
$t = ۰/۴۸۶n_1 + ۰/۱۷۱n_2 + ۱/۰۶۲n_3 + ۷/۳۵۴$					رابطه رگرسیون به دست آمده

جدول ۶ نتایج آنالیز مدل رگرسیونی رویکرد ورودی DE

Sig.	T	Beta	Std. Error	B	(R ² =۰/۸۱۹)
0/004	3/088		1/057	3/266	مقدار ثابت
0/000	10/620	0/846	0/077	0/815	سواری
0/000	4/243	0/338	0/108	0/459	موتورسیکلت
0/000	4/099	0/327	0/406	1/662	سنگین
$t = ۰/۸۱۵n_1 + ۰/۴۵۹n_2 + ۱/۰۶۲n_3 + ۳/۲۶۶$					رابطه رگرسیون به دست آمده

جدول ۷ نتایج آنالیز مدل رگرسیونی رویکرد ورودی EP

Sig.	t	Beta	Std. Error	B	(R ² =۰/۸۷۹)
0/000	5/576		1/257	7/01	مقدار ثابت
0/000	13/683	0/889	0/055	0/746	سواری
0/018	2/498	0/162	0/160	0/399	موتورسیکلت
$t = ۰/۷۴۶n_1 + ۰/۳۹۹n_2 + ۷/۰۱$					رابطه رگرسیون به دست آمده

جدول ۸ نتایج آنالیز مدل رگرسیونی رویکرد ورودی EE

Sig.	t	Beta	Std. Error	B	(R ² =۰/۸۳۹)
0/000	5/677		1/629	9/250	مقدار ثابت
0/000	11/370	0/853	0/077	0/874	سواری
0/009	2/800	0/213	0/162	0/454	موتورسیکلت
0/000	4/964	0/380	0/438	2/172	سنگین (اتوبوس غالب)
$t = ۰/۸۷۴n_1 + ۰/۴۵۴n_2 + ۲/۱۷۲n_3 + ۹/۲۵$					رابطه رگرسیون به دست آمده

جدول ۹ نتایج آنالیز مدل رگرسیونی رویکرد ورودی MD

Sig.	t	Beta	Std. Error	B	(R ² =۰/۸۸۵)
0/000	4/130		1/533	6/332	مقدار ثابت
0/000	12/843	0/809	0/072	0/925	سواری
0/000	5/005	0/315	0/095	0/473	موتورسیکلت
$t = ۰/۹۲۵n_1 + ۰/۴۷۳n_2 + ۶/۳۳۲$					رابطه رگرسیون به دست آمده

جدول ۱۰ نتایج آنالیز مدل رگرسیونی رویکرد ورودی FP

Sig.	t	Beta	Std. Error	B	(R ² =۰/۷۲۸)
0/001	3/585		1/093	3/917	مقدار ثابت
0/000	10/672	0/856	0/075	0/802	سواری
0/015	2/527	0/203	0/144	0/363	موتورسیکلت
$t = ۰/۸۰۲n_1 + ۰/۳۶۳n_2 + ۳/۹۱۷$					رابطه رگرسیون به دست آمده

جدول ۱۱ نتایج آنالیز مدل رگرسیونی رویکرد ورودی PA

Sig.	t	Beta	Std. Error	B	(R ² =۰/۹۰۶)
0/002	3/470		1/047	3/632	مقدار ثابت
0/000	14/762	0/902	0/033	0/482	سواری
0/205	1/299	0/080	0/207	0/268	موتورسیکلت
0/033	2/240	0/146	0/421	0/943	سنگین
$t = ۰/۴۸۲n_1 + ۰/۲۶۸n_2 + ۰/۹۴۳n_3 + ۳/۶۳۲$					رابطه رگرسیون به دست آمده

جدول ۱۲ نتایج آنالیز مدل رگرسیونی رویکرد ورودی PF

Sig.	t	Beta	Std. Error	B	(R ² =۰/۹۰۸)
0/192	1/338		1/464	1/959	مقدار ثابت
0/000	12/859	0/824	0/044	0/569	سواری
0/200	1/253	0/074	0/222	0/278	موتورسیکلت
0/001	3/648	0/232	0/336	1/226	سنگین
$t = ۰/۵۶۹n_1 + ۰/۲۷۸n_2 + ۱/۲۲۶n_3 + ۱/۹۵۹$					رابطه رگرسیون به دست آمده

جدول ۱۳ نتایج آنالیز مدل رگرسیونی رویکرد ورودی TT

Sig.	t	Beta	Std. Error	B	(R ² =۰/۹۳۴)
0/039	2/168		3/249	7/043	مقدار ثابت
0/000	10/883	0/825	0/092	1/001	سواری
0/048	2/071	0/124	1/196	2/477	اتوبوس
0/221	1/252	0/091	0/335	0/420	موتورسیکلت
$t = ۱/۰۰۱n_1 + ۰/۴۲n_2 + ۲/۴۷n_3 + ۷/۰۴۳$					رابطه رگرسیون به دست آمده

جدول ۱۴ نتایج آنالیز مدل رگرسیونی رویکرد ورودی DD

Sig.	t	Beta	Std. Error	B	(R ² =۰/۹۹۶)
0/055	2/030		0/523	1/061	مقدار ثابت
0/000	50/224	0/899	0/014	0/728	سواری
0/000	7/573	0/135	0/242	1/834	اتوبوس
$t = ۰/۷۲۸n_1 + ۱/۸۳۴n_2 + ۱/۰۶۱$					رابطه رگرسیون به دست آمده

جدول ۱۵ نتایج آنالیز مدل رگرسیونی رویکرد ورودی MK (موتورسیکلت+ اتوبوس+ مینی بوس)

Sig.	t	Beta	Std. Error	B	(R ² =۰/۹۹۴)
0/041	2/155		0/948	2/044	مقدار ثابت
0/000	63/198	1/037	0/009	0/561	سواری
0/000	4/648	0/072	0/049	0/229	موتورسیکلت
0/000	20/694	0/321	0/071	1/469	اتوبوس
0/000	11/323	0/185	0/069	0/776	مینی بوس
$t = ۰/۵۶۱n_1 + ۰/۲۲۹n_2 + ۱/۴۶۹n_3 + ۰/۷۷۶n_4 + ۲/۰۴۴$					رابطه رگرسیون به دست آمده

جدول ۱۶ نتایج آنالیز مدل رگرسیونی رویکرد ورودی MK (موتورسیکلت+ وسیله نقلیه سنگین)

Sig.	t	Beta	Std. Error	B	(R ² =۰/۹۸۲)
0/300	1/059		1/611	1/706	مقدار ثابت
0/000	38/042	1/052	0/015	0/550	سواری
0/031	2/278	0/060	0/083	0/200	موتورسیکلت
0/000	13/119	0/362	0/085	1/100	سنگین
$t = ۰/۵۵۵n_1 + ۰/۲n_2 + ۱/۱n_3 + ۱/۷۰۶$					رابطه رگرسیون به دست آمده

جدول ۱۷ نتایج آنالیز مدل رگرسیونی رویکرد ورودی AKH

Sig.	t	Beta	Std. Error	B	(R ² =۰/۷۵۹)
0/000	6/249		1/826	11/411	مقدار ثابت
0/000	8/962	0/970	0/065	0/584	سواری
0/020	2/472	0/267	0/354	0/875	مینی‌بوس
$t = ۰/۵۸۴n_۱ + ۰/۸۷۵n_۲ + ۱۱/۴۱۱$					رابطه رگرسیون به‌دست آمده

جدول ۱۸ نتایج آنالیز مدل رگرسیونی رویکرد ورودی AJ

Sig.	t	Beta	Std. Error	B	(R ² =۰/۹۵)
0/456	0/756		1/449	1/096	مقدار ثابت
0/000	21/713	0/940	0/027	0/587	سواری
0/001	3/573	0/156	0/060	0/215	موتورسیکلت
0/000	7/711	0/339	0/195	1/504	اتوبوس
$t = ۰/۵۸۷n_۱ + ۰/۲۱۵n_۲ + ۱/۵۰۴n_۳ + ۱/۰۹۶$					رابطه رگرسیون به‌دست آمده

نقلیه سنگین» قرار داده شده‌اند زیرا حجم عبوری هر کدام از این دو وسیله نقلیه کم و پراکنده بود و در عین حال حجم عبوری هر کدام بر حجم عبوری وسیله نقلیه دیگر غالب نبود؛ درحالی‌که در شهر اصفهان، در برخی تقاطعات مورد بررسی، حرکت اتوبوس‌ها و در برخی دیگر حرکت مینی‌بوس‌ها غالب بودند؛ بنابراین برای برخی تقاطع‌های شهر اصفهان، امکان محاسبه ضریب هم‌سنگ سواری به تفکیک برای اتوبوس و مینی‌بوس نیز وجود داشت. همچنین، هرچند در برخی تقاطعات مورد بررسی، وسایل نقلیه سنگین و موتورسیکلت درصد قابل ملاحظه‌ای را به خود اختصاص ندادند، اما در تمام سیکل‌های برداشت شده به‌طور کم‌وبیش یکنواخت حضور داشتند. بنابراین آنالیز رگرسیون در این موارد نیز منجر به برآورد مقادیر هم‌سنگ سواری معقولی شد. در این پژوهش برای بررسی معناداری روابط رگرسیونی پیشنهادی، آزمون آماره F انجام شد که نتایج به‌دست آمده از آن در جدول (۱۹) ارائه شده‌است.

در روابط ذکر شده در جداول فوق، $n_۱$ ، $n_۲$ ، $n_۳$ ، $n_۴$ و $n_۵$ به ترتیب تعداد وسایل نقلیه عبوری سواری، موتورسیکلت، سنگین (کلی)، اتوبوس و مینی‌بوس در هر سیکل و t زمان سبز اشباع کل در هر سیکل (ثانیه) است. مقادیر B نیز در این جداول، همان ضرایب a_i ای هستند که در رابطه (۱) تعریف شد.

همان‌گونه که از نتایج به‌دست آمده مشاهده می‌شود، ضرایب رابطه رگرسیونی به‌دست آمده برای وسایل نقلیه سنگین در تمام تقاطعات مورد بررسی با سطح اطمینان ۹۵٪ به‌دست آمده‌اند. نتایج به‌دست آمده در رابطه با موتورسیکلت‌ها نیز تقریباً با سطح اطمینان ۸۰٪ به‌دست آمده‌اند که این سطح اطمینان در محاسبات مربوط به تعیین نرخ جریان اشباع قابل قبول است. ضرایب هم‌بستگی مدل‌های برازش شده نیز حاکی از هم‌بستگی قوی بین وسایل نقلیه عبوری و بازه‌های زمانی سبز مؤثر در سیکل‌های هر رویکرد مورد بررسی می‌باشد.

در این پژوهش، اتوبوس و مینی‌بوس‌های عبوری در تقاطعات شهر یزد در یک گروه تحت عنوان «وسایل

جدول ۱۹ نتایج آزمون معناداری روابط رگرسیون برازش شده

شهر	کد	نام رویکرد	F	Sig. (p-value)	R ²
یزد	DN	تقاطع دولت آباد- از سمت بلوار نواب	28/516	0/000	0/734
	DE	تقاطع دولت آباد- از سمت خیابان انقلاب	43/809	0/000	0/819
	IP	تقاطع ایرانشهر- از سمت بلوار پاک نژاد	109/434	0/000	0/879
	IE	تقاطع ایرانشهر- از سمت بلوار امامزاده جعفر	50/52	0/000	0/839
	MD	تقاطع مهدی- از سمت بلوار دهه فجر	119/562	0/000	0/885
	FP	تقاطع فرهنگیان- از سمت بلوار پاک نژاد	57/587	0/000	0/728
	PA	تقاطع پژوهش- از سمت میدان عالم	89/82	0/000	0/906
	PF	تقاطع پژوهش- از سمت فلکه اطلسی	92/526	0/000	0/9.8
اصفهان	DD	تقاطع دانشگاه- از سمت خیابان دانشگاه	40/223	0/000	0/996
	TT	تقاطع توحید- از سمت خیابان توحید	50/437	0/000	0/934
	AJ	تقاطع غیرهم سطح شهید آقابابایی- از سمت خیابان جی	170/667	0/000	0/95
	AKH	تقاطع غیرهم سطح شهید آقابابایی- از سمت خیابان خواجه عمید	42/507	0/000	0/982
	MK	تقاطع ملک شهر- از سمت بلوار کاوه	1060/253	0/000	0/996

تفسیر آزمون معناداری روابط رگرسیون

برازش شده

نتایج به دست آمده از آزمون معناداری آماره F برای روابط رگرسیونی برازش شده حاکی از آن است که مقدار sig (p-value) کمتر از ۰,۰۵ است و فرض صفر آماره F با اطمینان ۹۵٪ درصد رد می شود؛ یعنی مدل موجود با اطمینان ۹۵٪ درصد معنی دار است و براساس داده های موجود، این مدل قادر به بیان ضریب هم سنگ سواری می باشد.

بررسی اثر تعاملی متغیرهای روابط برازش شده

برای این بررسی از آزمون هم بستگی پیرسون استفاده شد. نتایج این آزمون در جدول (۲۰) و (۲۱) ارائه شده است. در آزمون هم بستگی پیرسون، ضریب هم بستگی بین ۰ تا ۰,۲ نشان دهنده هم بستگی ناچیز، ضریب بین ۰,۲ تا ۰,۴ نشان دهنده هم بستگی ضعیف، ضریب بین ۰,۴ تا ۰,۶ نشان دهنده هم بستگی متوسط و ضریب بین ۰,۶ تا ۱

نشان دهنده هم بستگی قوی و بسیار قوی مابین متغیرها می باشد. نتایج به دست آمده از آزمون نشان می دهد که اکثر متغیرهای هر رویکرد هم بستگی ناچیز و یا ضعیفی باهم دارند. با توجه به این نتایج و هم چنین با استناد به تحقیقات پیشین [24, 26, 27]، در این تحقیق از اثر تعاملی بین متغیرها چشم پوشی شد و فرض شد که کلیه پارامترها به صورت مستقل از هم عمل می کنند.

در گام بعدی، ضرایب هم سنگ سواری براساس ضرایب رگرسیونی به دست آمده از تحلیل رگرسیونی و با استفاده از رابطه (۲) محاسبه شدند. مقادیر هم سنگ سواری پیشنهادی، برای تقاطعات چراغ دار شهر یزد در جدول (۲۲)، برای تقاطعات چراغ دار شهر اصفهان در جدول (۲۳) و میانگین این مقادیر برای دو شهر اصفهان و یزد در جدول (۲۴) ارائه شده است. سپس برای بررسی رابطه معناداری بین ضرایب هم سنگ سواری پیشنهادی برای هر رویکرد، آزمون تی تک نمونه ای انجام شد. نتایج به دست آمده در جدول (۲۵) ارائه شده است.

جدول ۲۰ نتایج آزمون همبستگی پیرسون بر روی داده‌های تقاطعات شهر یزد

شهر	کد	نام رویکرد	سواری و موتورسیکلت	سواری و سنگین	موتورسیکلت و سنگین
یزد	DN	تقاطع دولت‌آباد- از سمت بلوار نواب	-۰,۳۱	-۰,۳۱۲	۰,۱۵۲
	DE	تقاطع دولت‌آباد- از سمت خیابان انقلاب	-۰,۰۷۹	-۰,۰۹۵	-۰,۰۸۶
	IP	تقاطع ایرانشهر- از سمت بلوار پاک‌نژاد	۰,۲۱۹	-	-
	IE	تقاطع ایرانشهر- از سمت بلوار امام‌زاده جعفر	۰,۰۸۲	-۰,۱۱۶	-۰,۲۰۸
	MD	تقاطع مهدی- از سمت بلوار دهه فجر	۰,۲۵۸	-	-
	FP	تقاطع فرهنگیان- از سمت بلوار پاک‌نژاد	-۰,۰۸۲	-	-
	PA	تقاطع پژوهش- از سمت میدان عالم	-۰,۰۶۳	۰,۳	۰,۳
	PF	تقاطع پژوهش- از سمت فلکه اطلسی	۰,۱۴۸	۰,۳۲	-۰,۱۰۲

جدول ۲۱ نتایج آزمون همبستگی پیرسون بر روی داده‌های تقاطعات شهر اصفهان

شهر	کد	نام رویکرد	سواری و موتورسیکلت	سواری و اتوبوس	سواری و مینی‌بوس	موتورسیکلت و اتوبوس	موتورسیکلت و مینی‌بوس	اتوبوس و مینی‌بوس
اصفهان	DD	تقاطع دانشگاه- از سمت خیابان دانشگاه	-۰,۴۲۴	۰,۳۴۸	-	۰,۳۱	-	-
	TT	تقاطع توحید- از سمت خیابان توحید	-۰,۴۰۸	۰,۴۰۱	-	-۰,۳۲۸	-	-
	AJ	تقاطع غیرهم‌سطح شهید آقابابایی- از سمت خیابان جی	-۰,۰۲۹	-۰,۰۹۸	-	-۰,۱۷۷	-	-
	AKH	تقاطع غیرهم‌سطح شهید آقابابایی- از سمت خیابان خواجه عمید	۰,۰۳۲۸	-	-۰,۳۴۷	-	-۰,۲۷۶	-
	MK	تقاطع ملک‌شهر- از سمت بلوار کاوه	-۰,۰۷۷	-۰,۱۲۹	-۰,۳۳۴	-۰,۰۶۷	-۰,۱۰۴	۰,۰۲۱

جدول ۲۲ نتایج ضرایب همسنگ سواری تقاطعات شهر یزد

رویکرد	موتورسیکلت	سنگین (اتوبوس + مینی بوس)
تقاطع PF	0/49	2/1
تقاطع PA	0/55	1/96
تقاطع MD	0/51	-
تقاطع EP	0/53	-
تقاطع EE	0/51	2/48
تقاطع DE	0/56	2/04
تقاطع DN	0/35	2/18
تقاطع FP	0/45	-
تقاطع AS	0/49	-
میانگین	۰/۴۹	۲/۱۵

جدول ۲۳ نتایج ضرایب همسنگ سواری تقاطعات شهر اصفهان

رویکرد	موتورسیکلت	اتوبوس	مینی بوس	سنگین (اتوبوس + مینی بوس)
تقاطع DD	۰/۴۲	۲/۴۷	-	-
تقاطع MK	۰/۴۱	۲/۶	۱/۳۹۰	-
	۰/۳۶	-	-	۲
تقاطع AJ	۰/۳۷	۲/۵۶	-	-
تقاطع TT	۰/۴۲	۲/۴۷	-	-
تقاطع SKH	-	-	۱/۵	-
میانگین	۰/۳۹۶	۲/۵۳	۱/۴۵	۲

جدول ۲۴ میانگین ضرایب هم سنگ سواری به دست آمده از دو شهر اصفهان و یزد

وسیلۀ نقلیه	ضریب هم سنگ
موتورسیکلت	۰/۴۶
مینی بوس	۱/۴۵
اتوبوس	۲/۵۳
سنگین (اتوبوس و مینی بوس)	۲/۱۳

جدول ۲۵ نتایج آزمون تی تک نمونه ای برای ضرایب هم سنگ

Sig.	df	t	ضریب هم سنگ مفروض	وسیلۀ نقلیه
0/941	13	-0/075	0/46	موتورسیکلت
0/888	3	-0/152	2/53	اتوبوس
0/942	1	-0/091	1/45	مینی بوس
0/967	5	-0/043	2/13	وسیلۀ نقلیه سنگین

به دست آمد. مقایسه نتایج به دست آمده برای دو شهر اصفهان و یزد نشان می دهد که ضرایب هم سنگ سواری برای این دو شهر به هم نزدیک هستند و بنابراین شاید بتوان پیش بینی نمود که این مقادیر برای شهرهای دیگر ایران نیز کم و بیش مشابه باشد.

تفسیر نتایج آزمون تی تک نمونه ای

باتوجه به جدول (۲۵) سطح معناداری آزمون (sig.) برای ضرایب هم سنگ تمام وسایل نقلیه بیشتر از سطح خطای ۰,۰۵ می باشد که نشان می دهد فرضیه صفر را در سطح ۵ درصد نمی توان رد کرد و می توان نتیجه گرفت که

نتایج به دست آمده از این پژوهش نشان می دهد که ضریب هم سنگ سواری به دست آمده برای موتورسیکلت ها در دو شهر اصفهان و یزد در بازه ۰/۳۵ الی ۰/۵۶ و برای وسایل نقلیه سنگین در بازه ۱/۹۶ الی ۲/۴۸ متغیر بوده است. برای تقاطعات شهر اصفهان، ضریب هم سنگ سواری برای مینی بوس به طور متوسط ۱/۴۵، برای اتوبوس در بازه ۲/۴۷ الی ۲/۶ به دست آمد، در حالی که این نتایج برای وسایل نقلیه سنگین (اتوبوس + مینی بوس) برای تقاطعات شهر یزد در بازه ۱/۹۶ الی ۲/۴۸ حاصل شد. به طور کلی ضریب هم سنگ سواری برای وسایل نقلیه سنگین دو شهر اصفهان و یزد ۲/۱۳

جمع‌بندی و نتیجه‌گیری

در این پژوهش، به بررسی و تخمین مقادیر ضریب هم‌سنگ سواری به‌روش آنالیز رگرسیون چندمتغیره در تقاطعات چراغ‌دار شهرهای اصفهان و یزد پرداخته شد. هدف اصلی این تحقیق، تخمین مقادیر مناسب‌تر این ضرایب برای شرایط حاکم بر تقاطع‌های کشور ایران به‌جای استفاده از مقادیر پیشنهادی آیین‌نامه‌های کشورهای دیگر به‌منظور استفاده در طراحی، زمان‌بندی و تحلیل ظرفیت و عملکرد تقاطعات چراغ‌دار کشور ایران بود.

نتایج به‌دست‌آمده از این پژوهش را به‌شرح ذیل می‌توان خلاصه نمود:

- نتایج این مطالعه نشان داد که روش آنالیز رگرسیون، روش مناسبی برای محاسبه ضریب هم‌سنگ سواری در شرایط ترافیکی ناهم‌گن و نامنظم مانند شرایط ترافیکی حاکم بر ایران می‌باشد. در این پژوهش، روابط رگرسیون برای ۱۳ رویکرد از تقاطعات چراغ‌دار شهرهای اصفهان و یزد برآزش شدند و سپس با استفاده از این روابط، ضرایب هم‌سنگ سواری محاسبه شدند. بدین ترتیب، مقادیر ضرایب هم‌سنگ سواری ۲/۵۳، ۱/۴۵ و ۰/۴۶ به‌ترتیب برای اتوبوس، مینی‌بوس و موتورسیکلت به‌دست آمد.
- هنگامی که تردد اتوبوس‌ها و مینی‌بوس‌ها در تقاطعات اندک باشند، می‌توان از مجموع آنها تحت عنوان «وسایل نقلیه سنگین» با ضریب هم‌سنگ سواری برابر با ۲/۱۳ در تحلیل و طراحی‌ها استفاده کرد.
- مقایسه نتایج به‌دست‌آمده از تحلیل رگرسیون با نتایج سایر کشورها نشان داد که ضرایب هم‌سنگ سواری به‌دست‌آمده از روش آنالیز رگرسیون در تقاطعات مورد بررسی قدری بیشتر از مقادیر پیشنهاد شده در آیین‌نامه‌های کشورهای دیگر است. این اختلاف احتمالا ناشی از تفاوت‌های موجود در مشخصات وسایل نقلیه، رفتار رانندگی، جزئیات سیستم کنترل ترافیک و شرایط محیط پیرامونی تقاطع‌ها باشد.

میانگین هر یک از ضرایب هم‌سنگ محاسبه‌شده برای وسایل نقلیه موجود برابر با مقادیر ارائه‌شده در جدول (۲۵) می‌باشد.

مقایسه نتایج به‌دست‌آمده برای ضرایب هم‌سنگ سواری با مقادیر پیشنهادی در آیین‌نامه‌های کشورهای استرالیا، مالزی، اندونزی، آمریکا و روس و بستر برای کشور انگلستان در جدول (۲۱) ارائه شده است.

جدول ۲۶ ضرایب هم‌سنگ سواری انواع وسایل نقلیه مورد استفاده در سایر کشورها [32,31,30,29,28]

موتورسیکلت	سنگین (کامیون+ اتوبوس)	وسایل نقلیه
۰/۳۲	۱/۹۵	ویستر
-	۲	آمریکا
۰/۴	۱/۳	اندونزی
۰/۲۲	۱/۶	مالزی
*	۲-۲/۵	استرالیا
۰/۴۶	۲/۱۳	ایران (این تحقیق)
* ضریب هم‌سنگ مربوط به صورت میدانی محاسبه می‌شود.		

مقایسه ضرایب هم‌سنگ سواری به‌دست‌آمده از آنالیز رگرسیون چندمتغیره با ضرایب پیشنهادی توسط آیین‌نامه‌های منتخب نشان می‌دهد که ضرایب به‌دست‌آمده از روش رگرسیون برای تقاطع‌های مورد بررسی در این پژوهش عموماً بیشتر از ضرایب پیشنهادی کشورهای نام‌برده است. عواملی هم‌چون تفاوت ابعاد وسایل نقلیه، تفاوت قدرت موتور، مانورپذیری و شتاب‌گیری وسایل نقلیه، استاندارد به‌کار رفته در طراحی هندسی تقاطع‌ها، رفتار رانندگی متفاوت، تفاوت‌های موجود در زمان‌بندی چراغ‌های راهنمایی تقاطع‌ها و شرایط متفاوت محیط پیرامونی تقاطع‌ها در آن کشورها را در مقایسه با کشور ایران از جمله دلایل این اختلاف می‌توان برشمرد.

مراجع

1. Krammes, R., and Crowley, K., "Passenger car equivalents for trucks on level freeway segments", 65th Annual Meeting of the Transportation Research Board, Transportation Research Record 1091, National Research Council, Washington, D.C, No. 1091, pp. 10-17, (1986).
2. Dehghani-Zadeh, M., and Fallah Tafti, M., "Estimating saturation flow under weak discipline traffic condition, case study: Iran", *Journal of Archives of Transport*, Vol. 46(2), pp. 47-60. DOI: <https://doi.org/10.5604/01.3001.0012.2102>, (2018).
3. Greenshields, B. D., Shapiro, D., and Ericksen, E. L., "Traffic performance at urban intersections", Technical Report No. 1, Bureau of Highway Traffic, Yale University, (1947).
4. Kimber, R.M., McDonald, M., and Hounsell, N., "Passenger car units in saturation flows: concept, definition, derivation", *Journal of Transportation Research Part B: Methodological, Department of Civil Engineering, The University of Southampton, England*, Vol. 19, No.1, pp. 39-61, (1985).
5. سازمان برنامه و بودجه، «تقاطع‌های هم سطح شهری: سوابق مطالعات»، نشریه معاونت امور فنی و تدوین معیارها، سازمان برنامه و بودجه، شماره ۱۴۵ - ۳، (۱۳۷۶).
6. Teply, S., and Jones, A. M., "Saturation flow: Do we speak the same language?", *Transportation Research Record*, No. 1320, pp. 144-153, (1991).
7. Werner, A., and Morrall, J., "Passenger car equivalencies of trucks, buses, and recreational vehicles for two-lane rural highways", *Transportation Research Record 615, Transportation Research Board, National Research Council*, Washington, DC, No. 615, pp. 10-17, (1976).
8. ها شمیان، فرزند، و رضایی، محمدامین، «بررسی روش‌های تعیین ضریب هم سنگ سواری و سایل نقلیه»، کنفرانس مهندسی عمران، معماری و مدیریت پایدار شهری، (۱۳۹۳).
9. امینی، بهنام، و شهزاد، شروین، «ارزیابی مقیاس‌های ضریب هم سنگ سواری و سایل نقلیه سنگین در راه‌های دو خطه دو طرفه ایران براساس روش‌های اختلاف سرعت و سرفاصله و سایل نقلیه»، پژوهش‌نامه حمل‌ونقل، سال نهم، شماره چهارم، (۱۳۹۱).
10. Chandra, S., and Kumar, U., "Effect of lane width on capacity under mixed traffic conditions in India", *Journal of Transportation Engineering, American Society of Civil Engineers*, Vol. 129, No. 2, pp. 155-160, (2003).
11. Hu, Y., and Johnson, R., "Passenger car equivalents of trucks in composite traffic", Report DTFH, FHWA, U.S. Department of Transportation, (1981).
12. St John, A., and Glauz, W., "Speeds and service on multilane upgrades", 55th Annual Meeting of the Transportation Research Board, Transportation Research Record 615, National Research Council, Washington, DC, No.615, pp. 4-9, (1976).
13. خاکي، علی، و ناصری فرد، حمید، «محا سبه ضریب هم سنگ سواری موتور سیکلت در تقاطع‌های چراغ‌دار براساس تحلیل تأخیر»، دهمین کنفرانس بین‌المللی حمل‌ونقل ترافیک، (۱۳۸۹).

۱۴. نصیری، حبیب‌الله، طباطبایی، سارا، و جعفریان، احسان، «برآورد هم‌سنگ سواری و ساییل نقلیه سنگین در تقاطع‌های چراغ‌دار براساس پارامتر تأخیر»، اولین کنگره ملی مهندسی عمران، تهران، دانشگاه صنعتی شریف، اردیبهشت، (۱۳۸۲).
15. Cunagin, W., and Messer, C., "Passenger car equivalents for rural highways", *62nd Annual Meeting of the Transportation Research Board, Transportation Research Record 905*. TRB, National Research Council, Washington, DC, No. 905, pp. 61-68, (1983).
16. Demarchi, S., and Setti, J., "Limitations of pce derivation for traffic streams with more than one truck type", *Transportation Research Board TRB 2003 Annual Meeting CD-ROM*, No. 1852, (2003).
۱۷. اویسی، خسرو، سهرابی، سهیل، و اسرافیلی، حنا، «تعیین ضرایب هم‌سنگ سواری و ساییل نقلیه سنگین با استفاده از نمودارهای چگالی-نرخ جریان در آزادراه‌های کشور (مطالعه موردی: آزادراه تهران-کرج)»، پانزدهمین کنفرانس بین‌المللی حمل‌ونقل ترافیک، (۱۳۹۴).
18. Minh, C. C., and Sano, K., "Analysis of motorcycle effects to saturation flow rate at signalized intersection in developing countries", *Journal of the Eastern Asia Society for Transportation Studies*, Vol.5, pp. 1211-1222, (2003).
19. Kumar, P., Arkatkar, Sh., And Joshi, G., "New approach for estimating passenger car units on multilane urban roads with heterogeneous traffic conditions", *Journal of Transportation Engineering, Part A: Systems*, Vol. 144, No. 3, pp. 1-14, (2018).
20. Pajecki, R., Ahmed, F., Qu, X., Zheng, X., Yang, Y., and Easa, S., "Estimating passenger car equivalent of heavy vehicles at roundabout entry using micro-traffic simulation", *Frontiers in Built Environment*, Vol.5, No.77, pp. 1-11 (2019).
21. Pal, D., Sen, S., Chakraborty, S., and Roy, K., S., "Effect of pcu estimation methods on capacity of two-lane rural roads in india: a case study", *Transportation Research Procedia*, Vol. 48, pp. 734-746, (2019).
22. Mondal, S., Arya, V. K., D., and Gunarta, S., "Comparative analysis of saturation flow using various pcu estimation methods", *Transportation Research Procedia*, Vol. 48, pp. 3153-3162, (2020).
23. Granà, A., Giuffrè, T., Macioszek, E., and Acuto, F. "Estimation of passenger car equivalents for two-lane and turbo roundabouts using aimsun", *Frontiers in Built Environment*, Vol. 6, No. 86, pp.1-16, (2020).
24. Sugiarto, S., Apriandy, F., Darma, Y., Saleh, S. M., Rusdi, M., and Miwa, T., "Determining passenger car equivalent (pces) for pretimed signalized intersections with severe motorcycle composition using bayesian linear regression", *Plos One*, Vol. 16, No. 9, (2021).
25. Indian Road Congress, "Guidelines for the design of at-grade intersection in rural & urban area ", *IRC Indian Road Congress-Special Publication, No.41*, (1994).
26. Adnan, M., "Passenger car equivalent factors in heterogenous traffic environment-are we using the right numbers?", *Procedia Engineering, Fourth International Symposium on Infrastructure Engineering in Developing Countries*, Vol. 77, pp.106 – 113, (2013).

27. Adams, Ch. A., Zambang, M. A. M., and Boahen, R. O., "Effects of motorcycles on saturation flow rates of mixed traffic at signalized intersections in Ghana", *International Journal of Traffic and Transportation Engineering*, Vol. 4, No. 3, pp. 94-101, (2015).
28. Werner, A., and Webster, F. V., "Traffic signal settings", Road Research Laboratory Technical Paper No. 39, HMSO, London, No. 39, (1958).
29. Transportation Research Board., "Highway capacity manual", Transportation Research Board-National Research Council, Washangton D.C, (2010).
30. Indonesian Directorate General of Highways., "Indonesian highway capacity manual, urban and semi-urban traffic facilities", Ministry of Public Work, (1993).
31. Malaysian Ministry of Works., "Malaysian highway capacity manual 2006", Chapter 3, (2006).
32. Austroads, "Guide to traffic management", Part 3: Transport Studies and Analysis Methods, Austroads Ltd, (2009).

